

ISSN 1680-080X

Қазақ бас
сәулет-күрүліс
академиясы



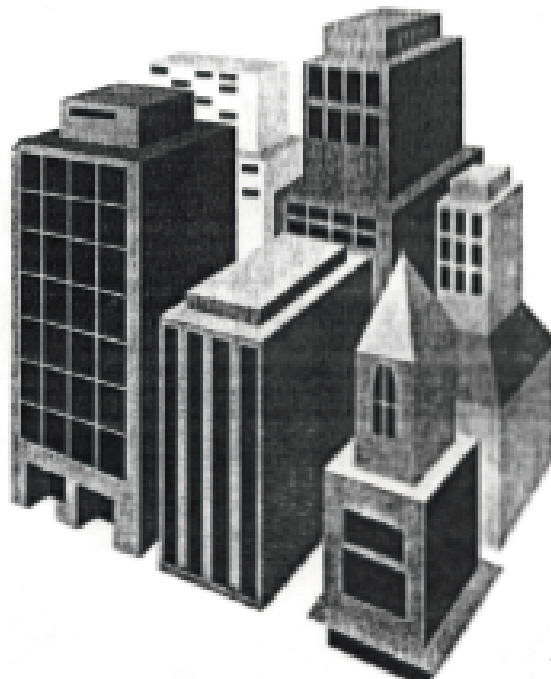
Казахская головная
архитектурно-строительная
академия

ХАБАРШЫ

ФЫЛЫМЫ ЖУРНАЛ

ВЕСТНИК

НАУЧНЫЙ ЖУРНАЛ



1(55)

АЛМАТА - 2015

СТРОИТЕЛЬНЫЕ КОНСТРУКЦИИ И МАТЕРИАЛЫ

Акылтаев А.М. Краткий анализ энергoeffективных мер при строительстве и эксплуатации зданий	138
Артекова А.Р., Нуршанов С.А. Строительство Жанаусурганской солнечной электростанции	141
Мендибаева А. Т. Рациональные методы зимнего бетонирования.....	146
Шалтабаева С.Т., Оразимбетова М.Б., Удербаева С.М. Основные принципы построения системы автоматического регулирования скорости подачи круглопильного станка.....	151

ИНЖЕНЕРНЫЕ СИСТЕМЫ И ЭКОЛОГИЯ

Абнека Г.С., Мырзахметов М.М., Маханов А., Бекмуратова Н.Т. Сарқынды суды тазарту үшін жасалынған биотоган құрылыштың технологиясы.....	158
Ержан Д., Наурызбаев Р.К., Жанашев И.Ж. Некоторые особенности структурной формулы П.Л. Чебышева.....	162
Ким Д.С., Зубова О.А. Оценка возможных последствий утери источника ионизирующего излучения с изотопом цезия ^{137}Cs	167
Курбанова Л.С., Кинабекова А.М., Қылыш Д.Е., Тугельбаева А.О. Обзор методов восстановления нефтезагрязненных почв	173
Молдамуратов Ж.Н. Моделирование распространения наносных отложений в оросительных каналах	181
Мырзахметов М., Садвакасов Е., Исқаков А. Проект специальной автоматизированной телекоммуникационной метеостанции по мониторингу снежных лавин	187
Мырзахметов М., Калырақунов К., Садвакасов Е. Диагностика мониторинга снежного покрова	191
Сенинков М.Н., Джолдасов С.К., Молдамуратов Ж.Н. Исследование процесса разработки грунта при формировании каналам гидравлически и статически устойчивой формы поперечного сечения.....	194

ГУМАНИТАРНЫЕ И ЕСТЕСТВЕННЫЕ НАУКИ

Богенбаева А.К., Молдабаева М.М. Кітеп мәденинің қасиеті.....	201
Иманбаев М.А., Зиятбекова Г.З., Джаксылыкова А.Б. Повышение эффективности обучения с использованием информационно-коммуникационных технологий	206
Украинец В.Н., Отарбаев Ж.О., Гиринис С.Р. Влияние параметров двухслойной обделки тоннеля на критические скорости транспортной нагрузки	210
Шакенова Ж.Н., Сушкива О.А. Разработка автоматизированной информационной системы САПР «Инженер».....	219

7. Колесниченко А.В., Марченко А.И., Побежимова Г.П., Зыкова В.В. Процессы биодеградации в нефтезагрязненных почвах. – М.: «Промэкбезопасность», 2004. – 194 с.
8. Пиковский Ю.И., Геннадьев А.Н., Чернянский С.С., Сахаров Г.Н. Проблема диагностики и нормирования загрязнения почве нефтью и нефтепродуктами // Почвоведение. – 2003. – № 9. – С. 1132-1140.
9. Мусина У.Ш. Васичкин А.С. Обзор способов утилизации нефтепродуктов и технологий их утилизации // Вестник КазНТУ. – № 5. – 12 с.
10. Логинов О.Н., Сипшиев Н.Н., Бойко Т.Ф., Галимзянова Н.Ф. Биотехнологические методы очистки окружающей среды от техногенных загрязнений – Уфа: Гос. изд. научно-тех. лит. «Реактив», 2000. – 100 с.
11. Казиева А.А., Малекина Э.И. Сравнительная оценка различных доз биокоррата для очистки нефтезагрязненных почве // Вестник АГТУ. – 2014. – №2. – 54-58 с.

УДК 626.3.626.312

Молдамуратов Ж.Н., PhD докторант ТарГУ им. М.Х. Дулати, г. Тараз

МОДЕЛИРОВАНИЕ РАСПРОСТРАНЕНИЯ НАНОСНЫХ ОТЛОЖЕНИЙ В ОРОСИТЕЛЬНЫХ КАНАЛАХ

Изучение динамических свойств наносных отложений матых, твердых или жидкостных частиц в форме аэро- и гидрозолей, суспензий или эмульсий, имеет на оросительных каналах большое значение. Экспериментальные и теоретические исследования такой задачи сопряжены с большими трудностями, тем не менее, с такого рода условиями очень часто приходится сталкиваться при эксплуатации гидротехнических сооружений.

Ключевые слова: модель, каналы, затопление, наносы, турбулентность.

Суландыру каналдарындағы аэро- және қоспалы сұйықтықтар, суспензия және ілесте заттар түрлідегі шағын, қатты немесе сұйық белшекті масындылық, шөгінділердің динамикалық қасиеттерін зерттеудің маңызы жоғары. Мұндай маселелердегі тәжірибелік және теориялық зерттеулер үлкен қылыштықтарымен курделенеді, сонда да, осыған рұқсас жағдайлармен гидротехникалық, күрьымдырын пайдалану кезінде жүйе кездесуге тұра келеді.

Түрлін сөздер: модель, каналдар, лай басу, масындылау, турбуленттілік.

The study of the dynamic properties of alluvial deposits of small, solid or liquid particles in the form of aerial and hydrosols, suspensions or slurries, has on irrigation canals of great importance. Experimental and theoretical studies of this problem involves great difficulties, however, with this kind of conditions often encountered in the operation of hydraulic structures.

Keywords: model, channels, siltation, sediment, turbulence.

Изучение поведения наносов при вполне развитой турбулентности очень важно для рассмотрения движения наносов в каналах, представляющих собойзвеси или песка разной дисперсности.

В реальных потоках на оросительных каналах, когда равновесие на уровне z , поддерживается плотностью наносов равной своему среднему значению q , их движение описывается [1, 2] полуземпирическим уравнением турбулентной диффузии, полученное осреднением уравнений молекулярной диффузии с учетом гравитации потоков массы наносов:

$$Lq = \frac{\partial q}{\partial t} + u_i \frac{\partial q}{\partial x_i} + \frac{\partial u_i q}{\partial x_i} - v_w \Delta q + \frac{1}{\rho} \frac{\partial Q_k}{\partial z} = Q(t), \quad (1)$$

где q – концентрация наносов в воде, г/л; $x_i = (x, y, z)$ – координаты (абсцисса, ордината, аппликата); $u_i = (u, v, w)$ – вектор скоростей в направлении x, y, z соответственно (м/с); ρ – плотность ($\text{г}/\text{м}^3$); Q_k – поток массы наносов под действием гравитации; $Q(t)$ – интенсивность наносов ($\text{м}^3/\text{сек}$); v_w – молекулярная вязкость. Лапласиан определяется следующим выражением:

$$\Delta = \frac{\partial^2}{\partial x^2} + \frac{\partial^2}{\partial y^2} + \frac{\partial^2}{\partial z^2}. \quad (2)$$

Сделаем некоторое упрощение в уравнении (2) по смыслу постановки задачи:

пренебрежем членами $v \frac{\partial q}{\partial x}, w \frac{\partial q}{\partial z}$ в силу того, что поперечное сечение ма-ло, а вертикальное течение отсутствует;

в силу того, что молекулярная вязкость очень мала, тогда $v_w \Delta q \approx 0$; поток наносов определим с помощью аппроксимации градиентного типа, т.е.

$$\overline{U'_i q'_i} = K \frac{\partial q}{\partial x_i}, \quad (3)$$

после этих упрощений уравнение седиментации наносов имеет вид:

$$\frac{\partial q}{\partial t} + u \frac{\partial q}{\partial x} - w_g \frac{\partial q}{\partial z} - \frac{\partial}{\partial z} K \frac{\partial q}{\partial z} + \frac{1}{\rho} \frac{\partial Q_k}{\partial z} = Q(t). \quad (4)$$

Интенсивность I осаждения наносов на дно канала, и накопленная масса определяется по формуле:

$$I = \pi \rho q_0 R, F = \int_0^t I(t') dt', \quad (5)$$

где $w_g(R)$ – скорость седиментации наносов со средним размером R , мкм; q_0 – концентрация наносов на дне канала; R и ρ – ее радиус и плотность соответственно; δ и η – плотность и вязкость воды.

$$w_g(R) = \frac{g(\rho - \delta)R^2}{9\eta}. \quad (6)$$

Принимая наносы во взвешенном состоянии (для малого времени), как вязкость наносов, будет иметь следующий вид:

$$\eta = \eta_0 (1 + \gamma q), \quad (7)$$

где $\gamma = 2,5$; η_0 – вязкость воды без наносов.

Рассмотрим износы с объемной концентрацией q_1 , достаточно малой, чтобы поток воды с частицами можно было считать однородной жидкостью в том смысле, что при добавлении малой концентрации частиц q_2 можно пользоваться формулой (7). Затем для приращения вязкости $d\eta$, запишем следующее выражение

$$\eta + d\eta = \eta(1 + 2.5q_2). \quad (8)$$

Повторяя этот процесс до конечной величины концентрации, находим

$$\frac{d\eta}{dq} = \frac{2.5\eta}{1-q}. \quad (9)$$

Решение уравнения (9) имеет вид:

$$\eta = \eta_0 (1 - q)^{-2.5}, \quad (10)$$

которое для сильно разреженных износов приводится к формуле (7).

Объем потока износов приближенно можно определить по формуле:

$$Q_k = -\frac{4}{3}\pi\rho_k N \int_0^{+\infty} r^3 f(r, z, t) \cdot v(r) dr, \quad (11)$$

где $v(r)$ – скорость выпадения частиц радиусом r ; $f(r, z, t)$ – функция распределения частиц по крушности (общее число в 1 см^3).

Для разной дисперсности функция распределения условно описывается следующей зависимостью:

$$f(r, z, t) = \frac{\alpha r^2}{r_m(z, t)} I^{-\frac{2r}{r_m(z, t)}}, \quad (12)$$

где $0.3 \leq \alpha \leq 0.65$, r_m – модальный радиус; N – число частиц в единице объема.

Краевые условия для уравнения (4) в общем случае имеют вид:

- на уровне шероховатости z_0 (м) примем

$$\kappa_q \frac{\partial q}{\partial n} + w_s \sin\varphi = \beta q, \quad (13)$$

где κ_q – коэффициент турбулентности на уровне z_0 ; w_s – скорость седиментации, м/с; β – коэффициент поглощения, с^{-1} ; φ – уклон канала;

- на поверхности воды задаются следующие условия:

$$q = q_0(x, 0) \text{ или } (при } z = -z_0), \quad (14)$$

где q_0 – частицы, транспортируемые к каналу;

- по x зададим свободные условия:

$$\left. \frac{\partial q}{\partial x} \right|_{x=-X} = 0, \quad \left. \frac{\partial q}{\partial x} \right|_{x=+X} = 0, \quad (15)$$

$\pm X$ – начало и конец канала, (м);

- начальное условие имеет вид:

$$q = q_n(0, x),$$

где q_n – известная функция (измерения).

Таким образом, мы получили замкнутую модель. Уравнения [3] с краевыми условиями аналитически представляют очень трудную задачу. Поэтому на практике часто применяют численные методы. При численном моделировании к поведению наносов в каналах предъявляются дополнительные требования к конечно-разностным аппроксимациям и методам решения уравнения (4).

Поскольку концентрация наносов является неотрицательной величиной, целесообразно использовать так называемые «монотонные» схемы, позволяющие получать неотрицательные решения. Для построения вычислительного алгоритма решения воспользуемся методом расщепления по физическим процессам и на каждом малом интервале времени $[t_j, t_{j+1}]$ ($j=0, 1, \dots, J$) рассмотрим схему, состоящую из трех этапов. При этом нас интересует распределение осредненных, по ячейкам сеточной области значений концентрации наносных отложений. Итак, согласно [4] рассмотрим схему расщепления:

перенос наносов по траекториям

$$\frac{\partial q}{\partial t} + u \frac{\partial q}{\partial x} - w_s \frac{\partial q}{\partial z} = 0, \quad (16)$$

турбулентную диффузию наносных отложений

$$\frac{\partial q}{\partial t} - \frac{\partial}{\partial z} K \frac{\partial q}{\partial z} = 0, \quad (17)$$

локальные преобразования (наносов)

$$\frac{\partial q}{\partial t} + \frac{1}{\rho} \cdot \frac{\partial Q_k}{\partial z} = Q(t). \quad (18)$$

Такое представление модели распределения наносов упрощает ее реализацию с помощью программного компьютерного обеспечения. Решение каждого предыдущего этапа в момент времени $t=t_j$ служит начальным условием для последующего этапа в момент времени $t=t_{j+1}$. Для решения уравнения (16) рассмотрим следующую схему Борис-Бука:

1. Расчет конвективных и диффузионных значений \tilde{q}_i (на примере трехточечной явной схемы алгоритма SHASTA):

$$\begin{aligned} \tilde{q}_i = q_i^J - \frac{1}{2} & \left[\varepsilon_{i+\frac{1}{2}} (q_{i+1}^J + q_i^J) - \varepsilon_{i-\frac{1}{2}} (q_i^J + q_{i-1}^J) \right] + \\ & + \left[v_{i+\frac{1}{2}} (q_{i+1}^J + q_i^J) - v_{i-\frac{1}{2}} (q_i^J - q_{i-1}^J) \right], \end{aligned} \quad (19)$$

где $\varepsilon_{i+\frac{1}{2}} \approx U_{i+\frac{1}{2}} \frac{\tau}{\Delta x} \nu \left(\nu_{i+\frac{1}{2}} \geq \frac{1}{2} \left| \varepsilon_{i+\frac{1}{2}} \right| \right)$ – безразмерные коэффициенты переноса и диффузии, подлежащие оптимизации.

2. Вычисление грубых антидиффузионных потоков Φ :

$$\Phi_{i+\frac{1}{2}} = \mu_{i+\frac{1}{2}} (\tilde{q}_{i+1} - \tilde{q}_i). \quad (20)$$

3. Вычисление скорректированных потоков Φ из условия

$$\Phi_{\frac{i+1}{2}} = S_{\max} \left\{ 0, \min \left[S(\tilde{q}_{i+1} - \tilde{q}_i), \left| \Phi_{\frac{i+1}{2}} \right|, S(\tilde{q}_i - \tilde{q}_{i-1}) \right] \right\}, \quad (21)$$

где $|S|=1$, $signS = sign(q_{i+1} - q_i)$.

4. Расчет нового значения q_i^{j+1} по определенной антидифузии

$$q_i^{j+1} = \tilde{q}_i - \Phi_{\frac{i-1}{2}} + \Phi_{\frac{i+1}{2}}. \quad (22)$$

Уравнение решается трехточечной неявной конечно-разностной схемой следующего вида:

$$\frac{q_i^{j+1} - q_i^j}{\tau} = \frac{K_{\frac{i+1}{2}}(q_{i+1}^{j+1} - q_i^{j+1}) - K_{\frac{i-1}{2}}(q_i^{j+1} - q_{i-1}^{j+1})}{\Delta x^2}. \quad (23)$$

Для решения конечно-разностной схемы применяется общепринятый метод прогонки, алгоритм которого записывается в следующем виде:

$$\begin{aligned} \alpha_{i+1} &= \frac{b_i}{c_i - a_i \alpha_i}; \quad \rightarrow \quad \beta_{i+1} = \frac{a_i \beta_i - f_i}{c_i - a_i \alpha_i}; \quad \rightarrow \quad i=1, N-1; \alpha_1 = \chi_1, \\ q_N &= \frac{\mu_2 + \chi_2 \beta_N}{1 - a_N \chi_2}; \quad \rightarrow \quad q_i = \alpha_{i+1} q_{i+1} + \beta_{i+1}; \quad \rightarrow \quad i=N-1, 0, \end{aligned}$$

Изучение поведения наносов при вполне развитой турбулентности очень важно при рассмотрении движения водных потоков, представляющих собойзвеси ила и песка.

Если рассмотреть [5] участок канала, где течение турбулентное, то каждая фракция (по размеру) распределяется в канале по экспоненциальному закону увеличения концентрации по глубине. В реальных потоках, равновесие на уровне y , на котором движение поддерживается плотностью наносов, равной своему среднему значению \bar{q} , справедливо следующее соотношение:

$$B\bar{q} + A \frac{d\bar{q}}{dy} = 0, \quad (24)$$

где B – скорость свободного падения частиц, A – коэффициент турбулентного обмена или вихревая вязкость $(\nu = B^2 \left| \frac{du}{dy} \right|)$,

Если выполняется экспоненциальный закон, то

$$\ln \frac{n_0}{n} = \frac{B}{A} y, \quad (25)$$

где n – число единиц фракций.

Практические результаты этих экспериментов будут представлены в следующих статьях в виде зависимости $Ln(n_0/n)$ от глубины h для средних размеров частиц различных фракций. Тот факт, что теоретические исследования подтверждаются с достаточной для этих экспериментов точностью, доказывает пропорциональность оседания величин n .

Рассмотрение переноса наноса, состоящих из сферических зерен одинакового размера и удельного веса, образующих неплотно уложенное дно канала, течение в котором может быть ламинарным или турбулентным в зависимости от числа Рейнольдса (Re).

Таким образом, в данном эксперименте градиент скорости на дне был основной переменной величиной. Эксперименты проводились в канале с попечным сечением 1,5; 2,8; 3,5 м, длина рабочей части составляла от 10 до 25 м. При самой маленькой скорости заметного отрыва частиц не происходило; при промежуточной скорости начинался перенос осадка, хотя течение воды было еще ламинарным; при самой большой скорости появилась общая турбулентность, и осадки быстро перемещались. Численные эксперименты с перемещениями наносных отложений по глубине канала вполне адекватны эффекту Магнуса, так как они лежат в области, где благодаря градиенту давления в пограничном слое, скорости (u) в нижних слоях меньше, чем в верхних.

Самые маленькие частицы удерживаются непрерывно во взвешенном состоянии за счет турбулентного движения, а большие, поднимаясь над зоной, где определяющим фактором является градиент скорости, падают вниз и поднимаются снова. Пути «зерен» наносов в этой «зоне прыжков» являются циклоническими и представляют собой последовательность скачков.

В практике эксплуатации оросительных каналов, такой подход теоретического и практического исследования, позволит с достаточно большой точностью устанавливать расчетные режимы работы сети и объемы очистных работ, а также прогнозировать межотстойной период.

Литература:

1. Ахулич И.Л. *Математическое программирование в примерах и задачах*. – М: Высшая школа, 1986.
2. Марчук Г.И. *Математическое моделирование в проблеме окружающей среды*. – М: Наука, 1982. – 317 с.
3. Huggenberger, P., and Regli, C. *A sedimentological model to characterize braided river deposits for hydrogeological applications*, in *Braided rivers: process, deposits, ecology and management*, Sambrook Smith, G.H., Best, J.L., Bristol, Ch.S., and Potts, G.E., Eds., Blackwell Publishing, 2006, no. 36, pp. 51–74.
4. Pozdniakov, S.P., and Tsang, C.F. *A self-consistent approach for calculating the effective hydraulic conductivity of a binary, heterogeneous medium*, *Water Resour. Res.*, 2004, vol. 40, W05105, doi: 10.1029/2003WR002617.
5. Agterberg, F.P., 1974. *Geomathematics*: Elsevier Scientific Publ. Co., Amsterdam and New York, 596 p.